



**Прикладные задачи анализа данных**

**СПЕКТРАЛЬНАЯ ТЕОРИЯ ГРАФОВ**  
**SPECTRAL GRAPH THEORY**

**Дьяконов А.Г.**

**Московский государственный университет  
имени М.В. Ломоносова (Москва, Россия)**

## **Спектральная теория графов**

### **Spectral Graph Theory**

**изучает свойства графов с помощью анализа**

- 1) собственных значений,**
- 2) собственных векторов,**
- 3) характеристических полиномов**

**матриц, которые связаны с графами:**

- 1) матрица сопряжённости,**
- 2) матрица Лапласа,**
- 3) беззнаковая матрица Лапласа.**

**Спектр матрицы** – мультимножество собственных значений

**Спектр конечного графа** – спектр её матрицы смежности,

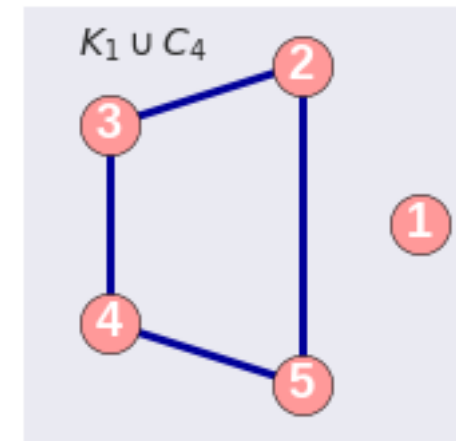
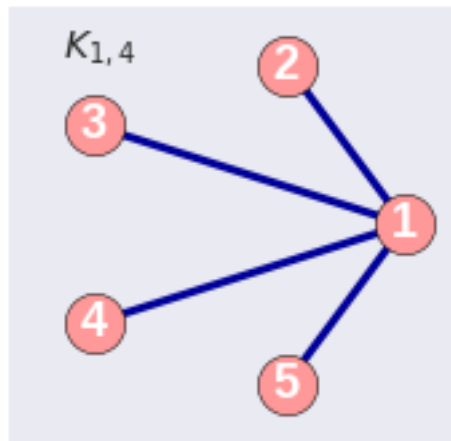
**Спектр Лапласа** – спектр матрицы Лапласа графа [**далее**].

## Изоспектральность

**+) Спектры не зависят от нумерации вершин**

**Графы с одинаковыми спектрами – изоспектральные  
(коспектральные)**

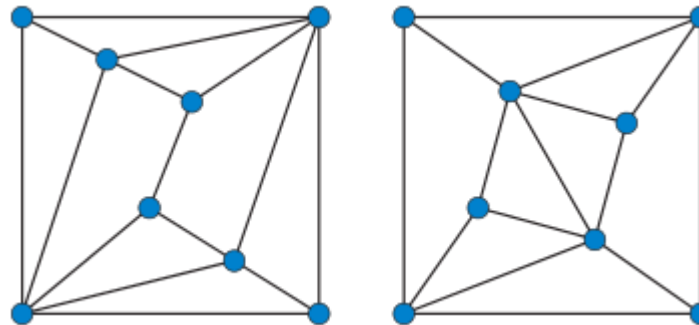
**Изоспектральные графы не всегда изоморфны:  $K_{1,4}$  и  $C_4 \cup K_1$**



[Skiena, S. Implementing Discrete Mathematics: Combinatorics and Graph Theory with Mathematica. Reading, MA: Addison-Wesley, p. 85, 1990.]

## Изоспектральность

**Ещё пример изоспектральных (из полиэдральных графов)**



**Теорема. Почти все деревья изоспектральны.**

**ДЗ так ли это?**

**Есть перечень известных изоспектральных графов, см.**

<http://mathworld.wolfram.com/CospectralGraphs.html>

**Есть специальные методы (метода Сунада) для построения изоспектральных графов**

## Спектр

**Матрица сопряжённости неориентированного графа симметричная**

$\Rightarrow$

**собственные значения вещественные,**

**существует базис из ортонормированных собственных векторов**

## Зачем нужен «алгебраический» подход к анализу графов

**Инвариант Колен де Вердьера  $\mu(G)$  — наибольший коранг  $(n - \text{rank}(M))$  среди всех матриц  $M \in \mathbb{R}^{n \times n}$ :**

$$1) M_{ij} = \begin{cases} < 0, & (i, j) \in E, \\ 0 & (i, j) \notin E. \end{cases}$$

**2) только одно отрицательное собственное значение (кратности 1),**

**3) выполняется строгая гипотеза Арнольда**

**Строгая гипотеза Арнольда:**

**не существует симметричной матрицы  $O^{n \times n} \neq X \in \mathbb{R}^{n \times n}$ :  $MX = 0$ ,**

$$X_{ij} = 0 \Leftrightarrow \begin{cases} i = j, \\ M_{ij} \neq 0. \end{cases}$$

**в монографиях – чуть по-другому**

## Критерии, связанные с инвариантом.

$\mu \leq 1$  тогда и только тогда, когда линейный лес

объединение путей

$\mu \leq 2$  тогда и только тогда, когда внешнепланарный граф

при добавлении вершины и рёбер, которые соединяют текущие вершины с добавленной получаем планарный граф

$\mu \leq 3$  тогда и только тогда, когда планарный граф

$\mu \leq 4$  тогда и только тогда, когда  $G$  бессвязно встраиваемый

(*linklessly embeddable graph*) **ДЗ**

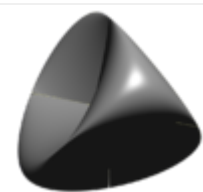
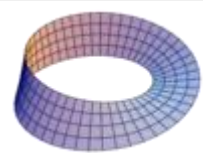
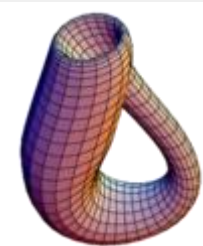
вложим в бутылку Клейна  $\Rightarrow \mu \leq 5$

вложим в тор  $\Rightarrow \mu \leq 6$

вложим в пов-ть с характеристикой Эйлера  $k < 0 \Rightarrow \mu \leq 4-2k$

**off topic – характеристика Эйлера**

Название	Вид	Эйлерова характеристика
Окружность		0
Круг		1
сфера		2
Тор		0
Двойной тор		-2

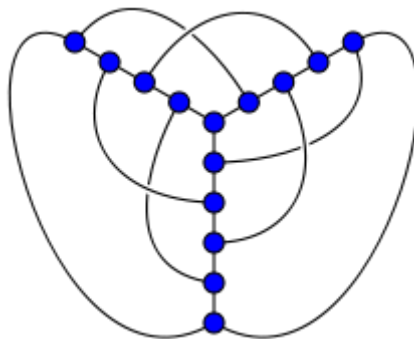
Тройной тор		-4
Проективная поверхность		1
Лист Мёбиуса		0
Бутылка Клейна		0
Две сферы		4



## Свойства

**Любой граф может быть раскрашен в  $\mu(G) + 1$  цвет**

**Минимальное число пересечений при изображении графа на плоскости  $\geq \mu(G) - 3$ .**



## Свойства

**Если дополнение графа является линейным лесом, то  $\mu(G) \geq |G| - 3$**

**Если дополнение графа является внешнепланарным графом, то**  
$$\mu(G) \geq |G| - 4$$

**Если дополнение графа  $G$  является планарным графом, то**  
$$\mu(G) \geq |G| - 5$$

## Монотонность

**Если  $H$  получен из  $G$  с помощью следующих операций**  
**(минорирование ~ сведение к минорам):**

- 1) удалением изолированных вершин,**
  - 2) удалением рёбер,**
  - 3) сжатием (схлопыванием) рёбер ,**
- тогда  $\mu(H) \leq \mu(G)$**

## Для справки

### Теорема Робертсона-Сеймура-Томаса

**Любое наследуемое свойство графов характеризуется конечным числом запрещенных подграфов.**

#### Наследуемые свойства

- **планарность** ( $K_5, K_{3,3}$ )
- **внешнепланарность** ( $K_4, K_{2,3}$ )
- **вложение в поверхность**

**Проблема:** вычисление инварианта

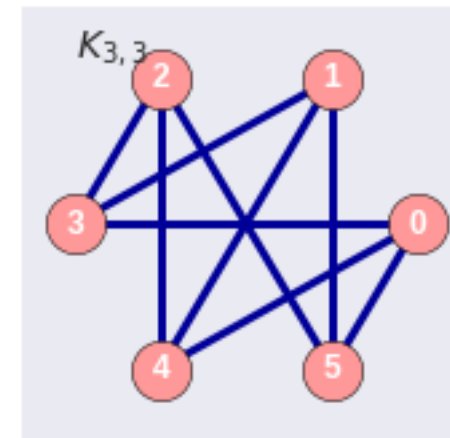
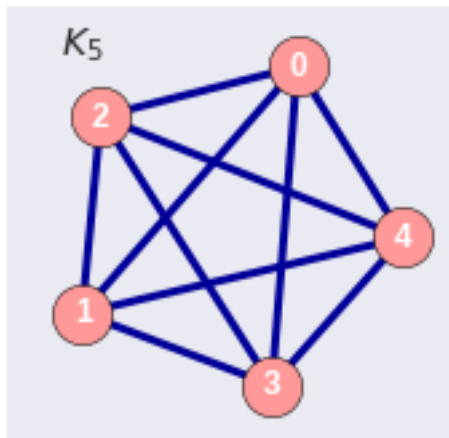
## Для справки

### Теорема Вагнера

**Конечный граф является планарным тогда и только тогда, когда его миноры не включают ни  $K_5$ , ни  $K_{3,3}$**

### Теорема Понтрягина — Куратовского

**Граф планарен тогда и только тогда, когда он не содержит в качестве подграфа подразделение  $K_5$  или  $K_{3,3}$**



**Итак, начнём...**

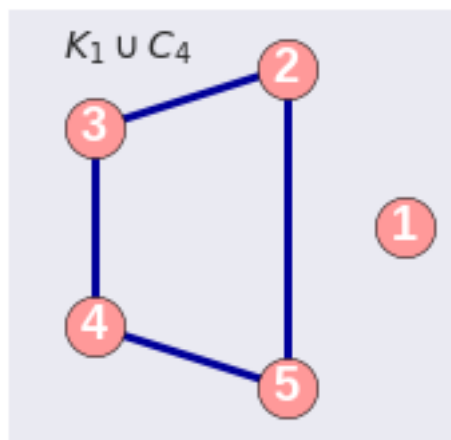
**Граф  $G = (V, E)$**

**Чаще – неориентированные простые (без кратных рёбер и петель)  
конечные графы (иногда – взвешенные)**

## Матрицы

<b>сопряжённости</b>	$A \in \{0,1\}^{n \times n} : A_{ij} = 1 \Leftrightarrow (i, j) \in E$
<b>диагональная матрица степеней</b>	$D_{ij} = \begin{cases} \deg(i), & i = j, \\ 0, & i \neq j. \end{cases}$
<b>распределений (diffusion)</b>	$W = D^{-1}A$
<b>Лапласа (Кирхгофа)</b>	$L = D - A, L = NN^T$
<b>беззнаковая Лапласа</b>	$Q = D + A, Q = MM^T$
<b>инциденций</b>	$M_{ij} = 1 \Leftrightarrow i \in e_j$
<b>инциденций орграфа</b>	$N_{ij} = \begin{cases} +1, & e_j = (i, *), \\ -1, & e_j = (*, i), \\ 0, & \text{иначе.} \end{cases}$

## Матрица Лапласа



	1	2	3	4	5
1	0	0	0	0	0
2	0	2	-1	0	-1
3	0	-1	2	-1	0
4	0	0	-1	2	-1
5	0	-1	0	-1	2

**Вырождена**

**Суммы строк / столбцов нулевые**

**Все алгебраические дополнения симметричной матрицы равны **ДЗ****

**Имеет физический смысл **ДЗ** - красиво объяснить**

**дальше – свойства, связанные со связностью**

**Как обобщается на весовой граф?**

## Напомним...

**Собственный вектор** (матрицы  $M$ ) –  $x \neq \tilde{0}$ :  
 $\exists \lambda : Mx = \lambda x.$

**У симметричных матриц (такие будут у нас)**

- **из с.в. можно составить ортонормированный базис (запишем по столбцам в  $\Psi$ )**
- **вещественные с.з. (запишем на диагональ  $\Lambda$ )**

$$\Psi^T M \Psi = \Lambda$$

$$M = \Psi \Lambda \Psi^T = \sum_i \lambda_i \psi_i \psi_i^T$$



**Отношение Релея** –  $\frac{x^T Mx}{x^T x}$ .

**Для собственного вектора** –  $\frac{x^T Mx}{x^T x} = \lambda$ .

**Теорема.** Пусть  $M$  – симметричная матрица, тогда максимум отношения Релея равен максимальному собственному значению.

**Простое доказательство**

$$\frac{\partial f}{\partial x} = \frac{2Mx(x^T x) - 2x(x^T Mx)}{(x^T x)^2} = 0, \quad Mx = \frac{x^T Mx}{(x^T x)} x$$

**Другое доказательство:**

**взять базис из ортогональных собственных векторов  $M$ ,  
расписать вектор  $x$ , подставить.**

## Отношение Релея

**Кстати, почему максимальное значение всегда существует...**

$$\frac{x^T M x}{x^T x}$$

**можно рассматривать только векторы:  $\|x\|=1$   
(компактное множество)**

**на этом множестве функция  $x^T M x$  непрерывна**

$$\frac{x^T M x}{x^T x} \leq \lambda_{\max}$$

$$\frac{v^T M v}{v^T v} = \lambda_{\max}$$

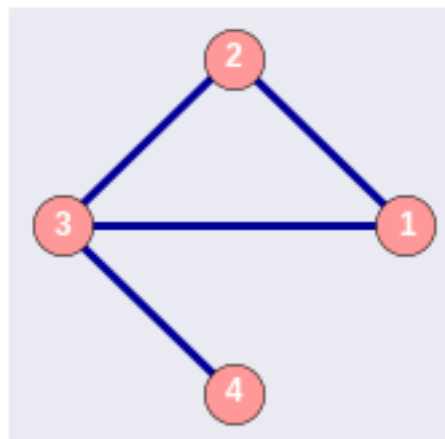
$$M v = \lambda_{\max} v$$

## Что есть в матрицах...

$A_{ij}$  – число путей из вершины  $i$  в вершину  $j$

$$\text{tr}(A^2) = 2 |E|$$

$\text{tr}(A^3) = 6k$ ,  $k$  – число треугольников в графе



$$A$$

	1	2	3	4
1	0	1	1	0
2	1	0	1	0
3	1	1	0	1
4	0	0	1	0

$$A^2$$

	1	2	3	4
1	2	1	1	1
2	1	2	1	1
3	1	1	3	0
4	1	1	0	1

$$A^3$$

	1	2	3	4
1	2	3	4	1
2	3	2	4	1
3	4	4	2	3
4	1	1	3	0

## Что есть в матрицах...

**Теорема** Если граф связный (неориентированный) с диаметром  $d$ , то существует как минимум  $d + 1$  различных с.з. матрицы  $A$  (аналогично  $L, Q$ ).

**Доказательство.** Пусть  $\lambda_1, \dots, \lambda_k$  – все различные с.з., тогда

$$(A - \lambda_1 I) \cdot \dots \cdot (A - \lambda_k I) = 0, \text{ почему?}$$

$$\text{поэтому } A^k \in \Lambda(I, A, \dots, A^{k-1}).$$

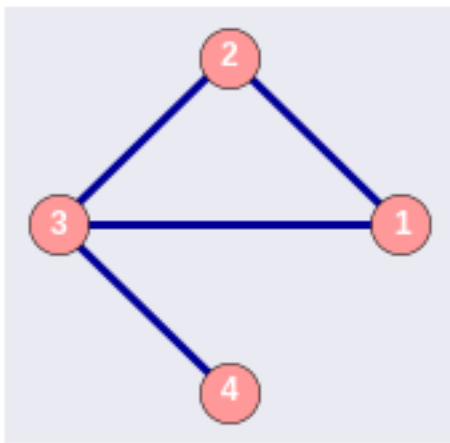
Но если диаметр достижим для пары вершин  $(i, j)$ , то

$$A_{ij}^t = \begin{cases} 0, & t < d, \\ > 0, & t = d. \end{cases}$$

Поэтому  $k > d$ .

**Квадратичная форма Лапласа –**

$$x^T Lx = \sum_{(i,j)} (x_i - x_j)^2, \quad L = D - A, \quad \mathbf{R}^{|V|} \rightarrow \mathbf{R}.$$



$$[x_1, x_2, x_3, x_4] \begin{bmatrix} 2 & -1 & -1 & 0 \\ -1 & 2 & -1 & 0 \\ -1 & -1 & 3 & -1 \\ 0 & 0 & -1 & 1 \end{bmatrix} \begin{bmatrix} x_1 \\ x_2 \\ x_3 \\ x_4 \end{bmatrix} =$$

$$\begin{aligned}
& x_1(2x_1 - x_2 - x_3) + & x_1(x_1 - x_2) + x_1(x_1 - x_3) + \\
& x_2(2x_2 - x_1 - x_3) + & x_2(x_2 - x_1) + x_2(x_2 - x_3) + \\
= & x_3(3x_3 - x_1 - x_2 - x_4) + & x_3(x_3 - x_1) + x_3(x_3 - x_2) + x_3(x_3 - x_4) + \\
& x_4(x_4 - x_3) & x_4(x_4 - x_3)
\end{aligned}$$

**Теорема. Минимальное с.з. матрицы Лапласа = 0**

**т.е. все  $\geq 0$  – это важно!**

**Доказательство:**

**1 способ) т.к. все с.з. неотрицательны, а матрица вырождена.**

**2 способ) КФЛ неотрицательна, обращается в ноль.**

**Вспоминаем отношение Релея (по теореме Куранта-Фишера).**

**Кстати, для беззнаковой матрицы Лапласа**

$$x^T Q x = \sum_{(i,j)} (x_i + x_j)^2$$

## Теорема (Куранта-Фишера) / о минимаксе (min-max theorem)

Пусть  $A$  – симметричная матрица с с.з.  $\lambda_1 \geq \dots \geq \lambda_n$ , тогда

$$\lambda_k = \max_{\substack{S \subseteq \mathbf{R}^n \\ \dim(S)=k}} \min_{x \in S} \frac{x^T A x}{x^T x} = \min_{\substack{T \subseteq \mathbf{R}^n \\ \dim(T)=n-k+1}} \max_{x \in T} \frac{x^T A x}{x^T x}.$$

**Следствие.** Если  $A$  – симметричная матрица с с.з.  $\alpha_1 \geq \dots \geq \alpha_n$ , матрица  $B$  получена из неё удалением  $i$ -й строки и  $i$ -го столбца, её с.з.  $\beta_1 \geq \dots \geq \beta_n$ , тогда

$$\alpha_1 \geq \beta_1 \geq \dots \geq \alpha_n \geq \beta_n.$$

тут ошибка;)

## Собственные значения матрицы Лапласа

Пусть  $0 = \lambda_1 \leq \lambda_2 \leq \dots \leq \lambda_n$  – с.з. матрицы Лапласа

**Теорема.**  $\lambda_2 = 0 \Leftrightarrow$  граф несвязный

### Доказательство.

Если несвязный – в явном виде строятся два ортогональных собственных вектора.

Если связный, то берём вектор ортогональный к константному, в нём есть два различных элемента  $x_i, x_j$ , учитывая, что вершины  $i, j$  соединяет путь, выражение

$$x^T L x = \sum_{(i,j)} (x_i - x_j)^2$$

будет положительно. Поэтому это не может быть с.в. с нулевым с.з.



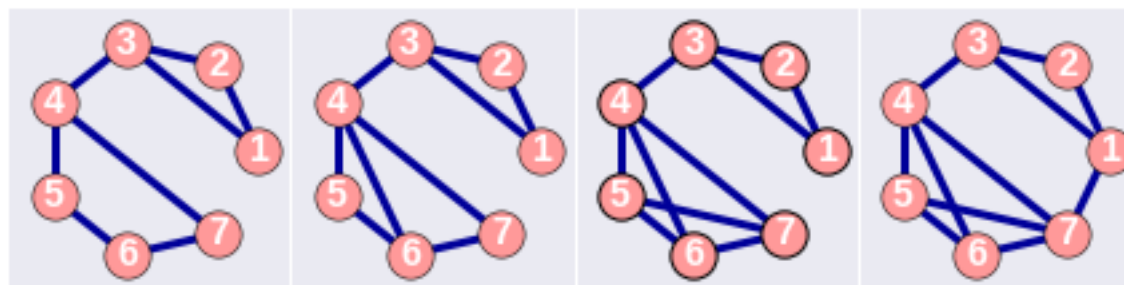
## Алгебраическая связность графа (**Важно!**)

$\lambda_2$  – **АСГ / индексом связности** [Fiedler]  
соответствующий с.в. – **вектор Фидлера**

**Монотонно не убывает при добавлении рёбер, так как**

$$\min_{x^T \tilde{1}=0} \frac{x^T L x}{x^T x} = \lambda_2$$

**Помним: max – max с.з., min – min с.з.=0**



2.38 1.78 0.19 -2.20 -1.00 -1.15 0.00  
0.00 0.36 4.78 2.28 3.00 3.59 2.00

2.77 1.92 -1.89 -1.36 -1.00 -0.44 0.00  
0.00 0.40 5.26 3.00 3.34 4.00 2.00

3.12 2.00 -1.76 -0.36 -1.00 -1.00 -1.00  
0.00 0.40 5.26 3.00 3.34 4.00 4.00

3.31 1.84 -2.00 -1.49 0.00 -0.66 -1.00  
0.00 0.89 5.62 4.86 3.25 3.38 4.00

**Кстати,**

$$\min \frac{x^T L x}{x^T x} = \lambda_1$$

$$\min_{x: x^T \tilde{1}=0} \frac{x^T L x}{x^T x} = \lambda_2$$

$$\min_{x: x^T \tilde{1}=0, x^T \psi_2=0} \frac{x^T L x}{x^T x} = \lambda_3$$

**и т.д.**

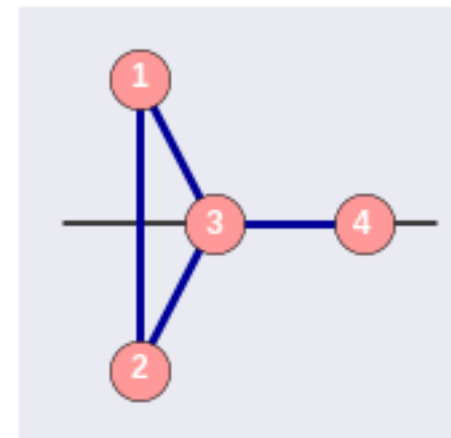
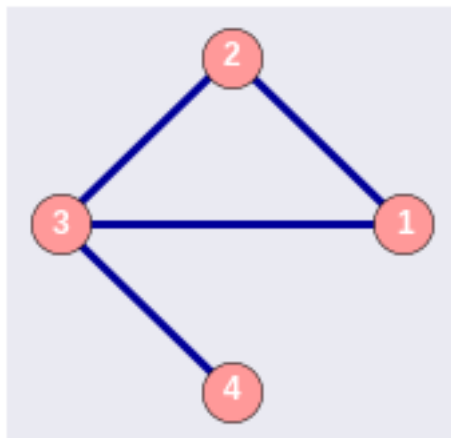
**Что получится если min заменить на argmin?**

## Проблема вложения графа [Hall, 70]

**Вложить граф в прямую:**

$$x^T L x = \sum_{(i,j)} (x_i - x_j)^2 \rightarrow \min_x,$$

**где  $x = (x_1, \dots, x_n)$  – координаты наших вершин.**



**Избежать очевидного константного решения:**

$$\tilde{1}^T x = 0,$$

**учесть масштаб:**

$$\|x\| = 1.$$

**Проблема вложения графа [Hall, 70]**

$$x^T L x = \sum_{(i,j)} (x_i - x_j)^2 \rightarrow \min_x$$

$$\tilde{1}^T x = 0$$

$$\|x\| = 1$$

**Решение – собственный вектор,  
соответствующий второму по величине с.з. матрицы Лапласа.**

## Проблема вложения графа [Hall, 70]

**Теперь вкладываем в плоскость:**

$$\sum_{(i,j) \in E} \|(x_i, y_i) - (x_j, y_j)\|^2 = \sum_{(i,j) \in E} (x_i - x_j)^2 + \sum_{(i,j) \in E} (y_i - y_j)^2 \rightarrow \min$$

**при условии**

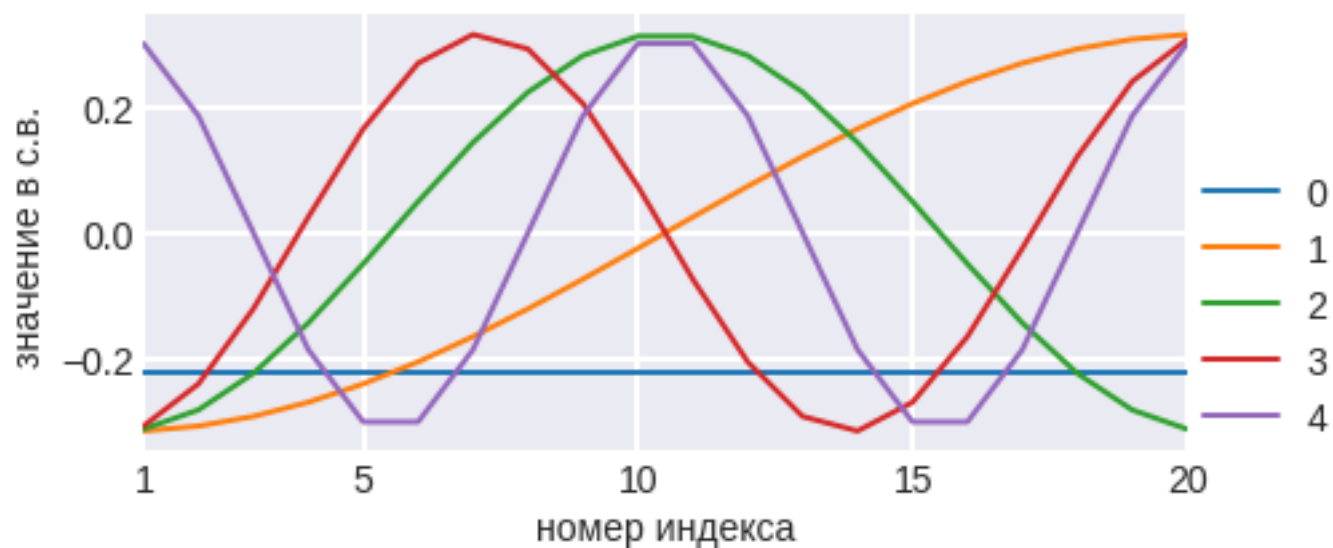
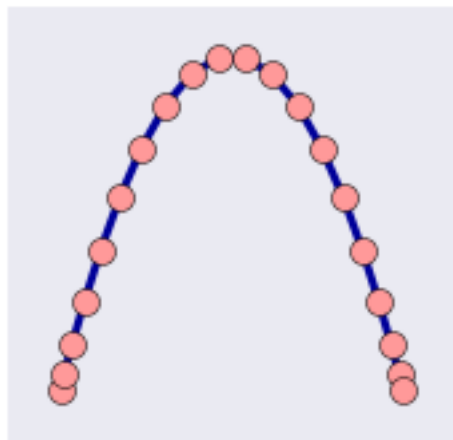
$$\sum_{i \in V} (x_i, y_i) = (0, 0).$$

**Если добавить условие ортогональности  $x$  и  $y$ ,  
то получим, что решение – с.в.,  
соответствующие второму и третьему с.з. матрицы Лапласа.**

**Вот почему визуализация графа по с.в.!**

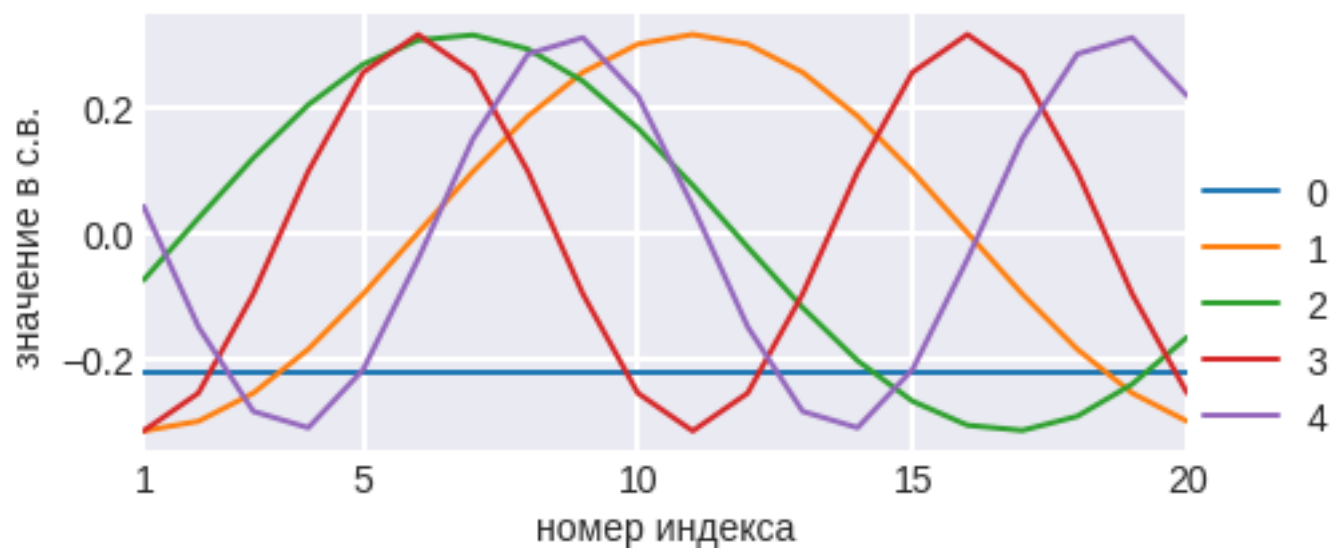
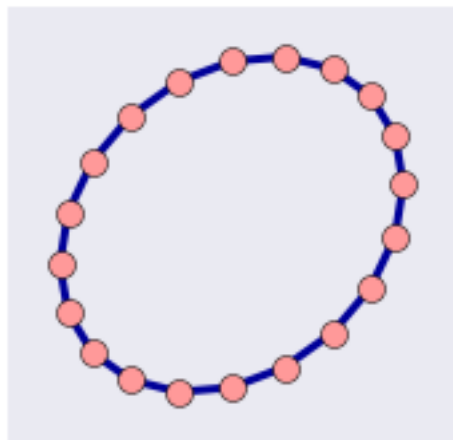
Сейчас будут картинки... откуда берутся синусоиды?

## Вложение линейного графа



**первые 5 собственных векторов**

## Вложение кольца

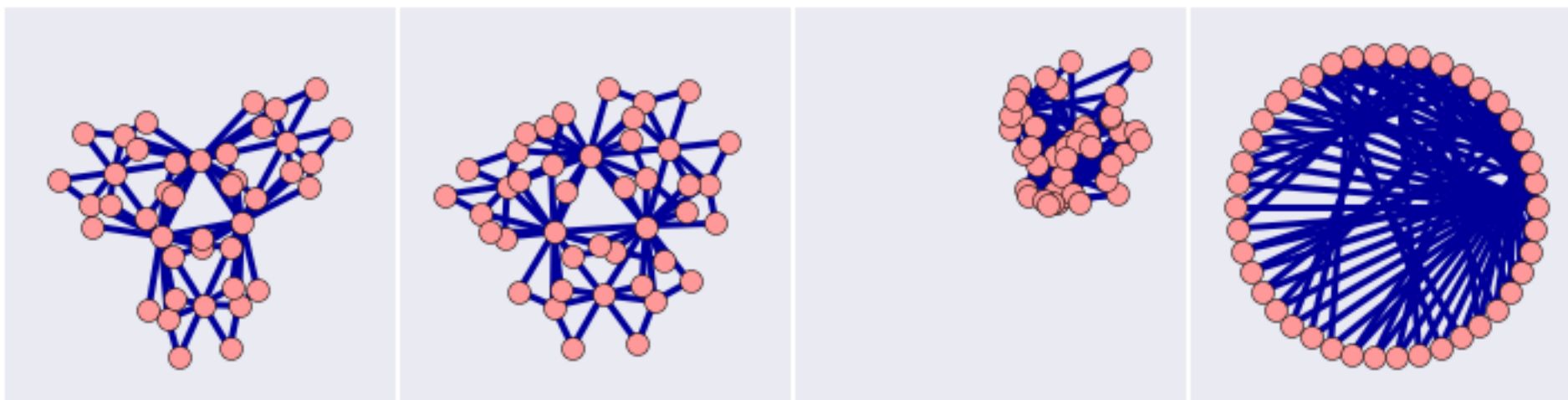


**Д3 почему рисунок стал некрасивым?**

## Минутка кода

```
import networkx as nx
g = nx.dorogovtsev_goltsev_mendes_graph(4)

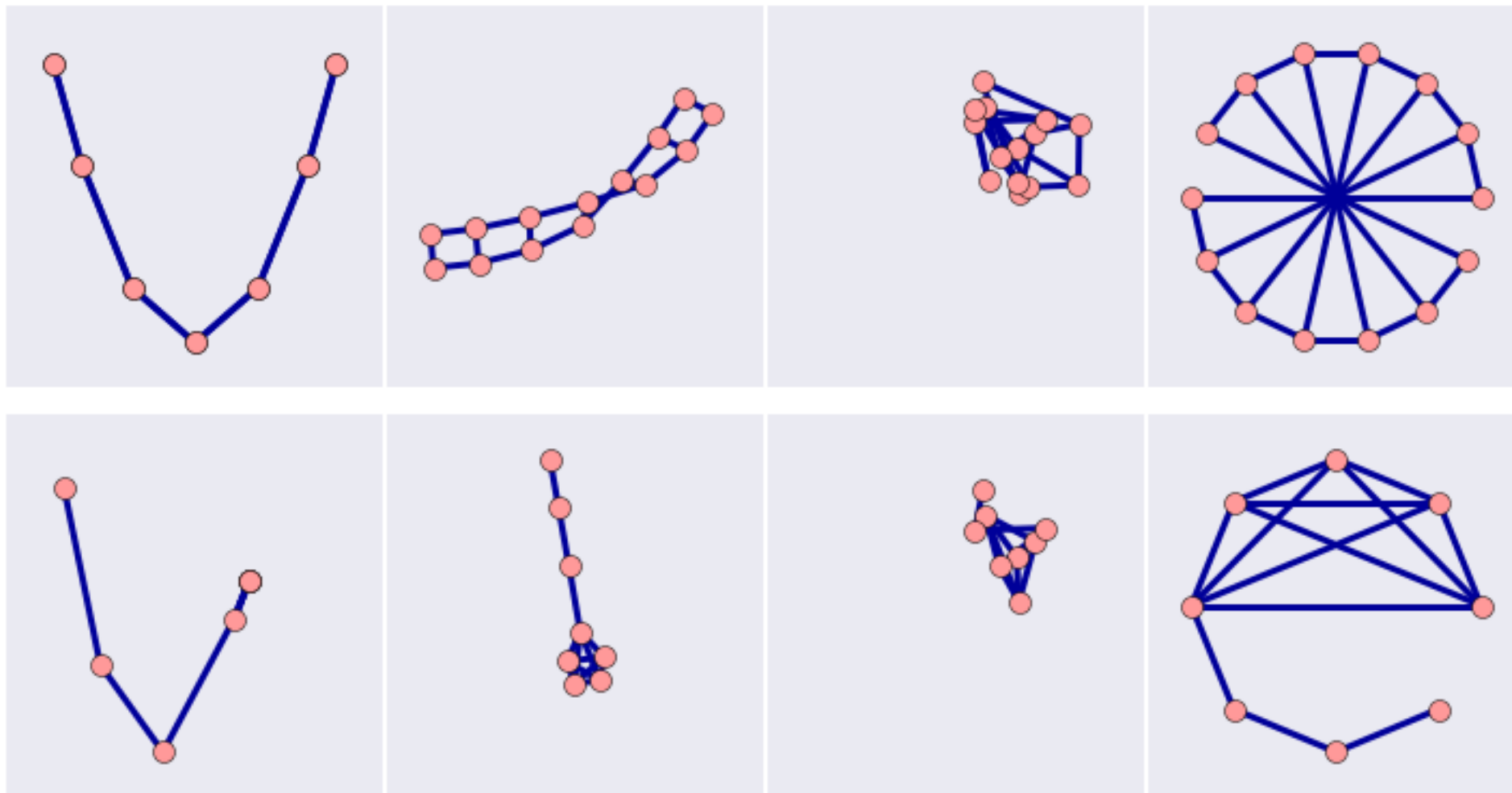
pos = nx.spectral_layout(g)
nx.draw_networkx_nodes(g, pos)
nx.draw_networkx_edges(g, pos)
```



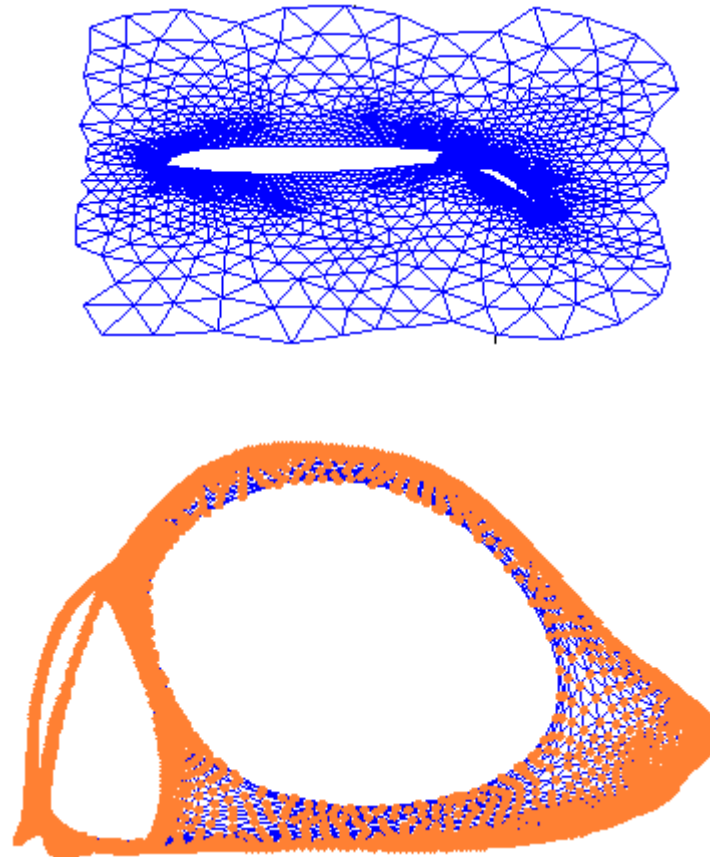
```
pos = nx.spectral_layout(g)
pos = nx.spring_layout(g, random_state=1)
pos = nx.random_layout(g, random_state=2)
pos = nx.circular_layout(g)
```



## Вложения разных графов

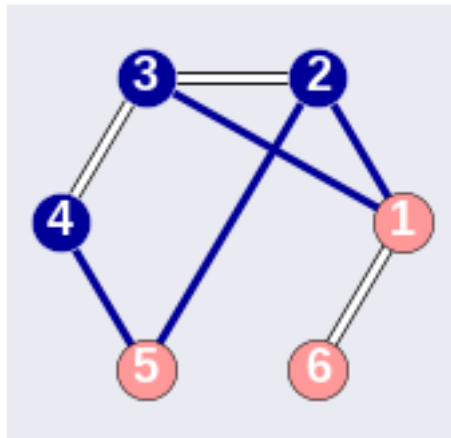


Иногда размерности не хватает для вложения



[Hal70] K. M. Hall. An  $r$ -dimensional quadratic placement algorithm. *Management Science*, 17:219–229, 1970.

## Разбиение графа



**Рёберная граница –**  
 $\partial S = \{(i, j) \in E \mid i \in S, j \notin S\}$

**Число Чигера (изопериметрическое число) –** 
$$h(G) = \min_{0 < |S| \leq n/2} \frac{|\partial S|}{|S|}$$

**Оценивает, есть ли в графе «узкое горло»**

**Приложения:**

построение компьютерных сетей

тасование карт

**ДЗ Рассказать об этом**

## Разбиение графа

**Теорема.**  $h(G) \geq \frac{\lambda_2(1-s)}{2}$ , где  $s = |S| / |V|$

Если  $\lambda_2$  – большое с.з., то граф «сильно связан»

**Неравенство Чигера [Wiki, без доказательства]**

**В  $k$ -регулярном графе**  $\frac{k - \lambda_2}{2} \leq h(G) \leq \sqrt{2k(k - \lambda_2)}$

Часто называют одним из основных результатов в СТК

**Теорема.**  $h(G) \geq \frac{\lambda_2(1-s)}{2}$ , где  $s = |S| / |V|$

**Доказательство.** Известно, что

$$\min_{x^T \tilde{1} = 0} \frac{x^T L x}{x^T x} = \lambda_2.$$

Поэтому для любого вектора  $x$  ортогонального к  $\tilde{1}$  выполняется

$$x^T L x \geq \lambda_2 x^T x.$$

Если  $x = x_S - s\tilde{1}$ , где  $x_S$  – характеристический вектор множества  $S$  (поправка  $x_S$  до ортогональности к  $\tilde{1}$ ), то

$$x^T L x = \sum_{(i,j) \in E} (x_i - x_j)^2 = |\delta S|$$

и  $x^T \tilde{1} = 0$ . Из

$$x^T x = |S| (1-s)^2 + (|V| - |S|) s^2 = |S| (1-s)$$

следует утверждение теоремы.

## Применение в комбинаторике

**Теорема.**  $h(G) \geq \frac{\lambda_2(1-s)}{2}$ , где  $s = |S| / |V|$ .

**Следствие** (можно показать, зная спектр гиперкуба), что для любого подмножества вершин  $S : |S| \leq 2^{n-1}$  справедливо  $|\partial S| \geq |S|$   
(это простое некомбинаторное доказательство)

## Матричная теорема о деревьях

### Теорема [без доказательства]

**В неориентированном мультиграфе число остовных деревьев равно**

$$\det(L + J / n^2) = \mu_2 \cdot \dots \cdot \mu_n / n$$

**(с.з. Лапласа  $0 = \mu_1 \leq \dots \leq \mu_n$ )**

### Следствие

**Число остовных деревьев полного графа**

**(формула Кэли)**

$$\text{od}(K_n) = n^{n-2}$$

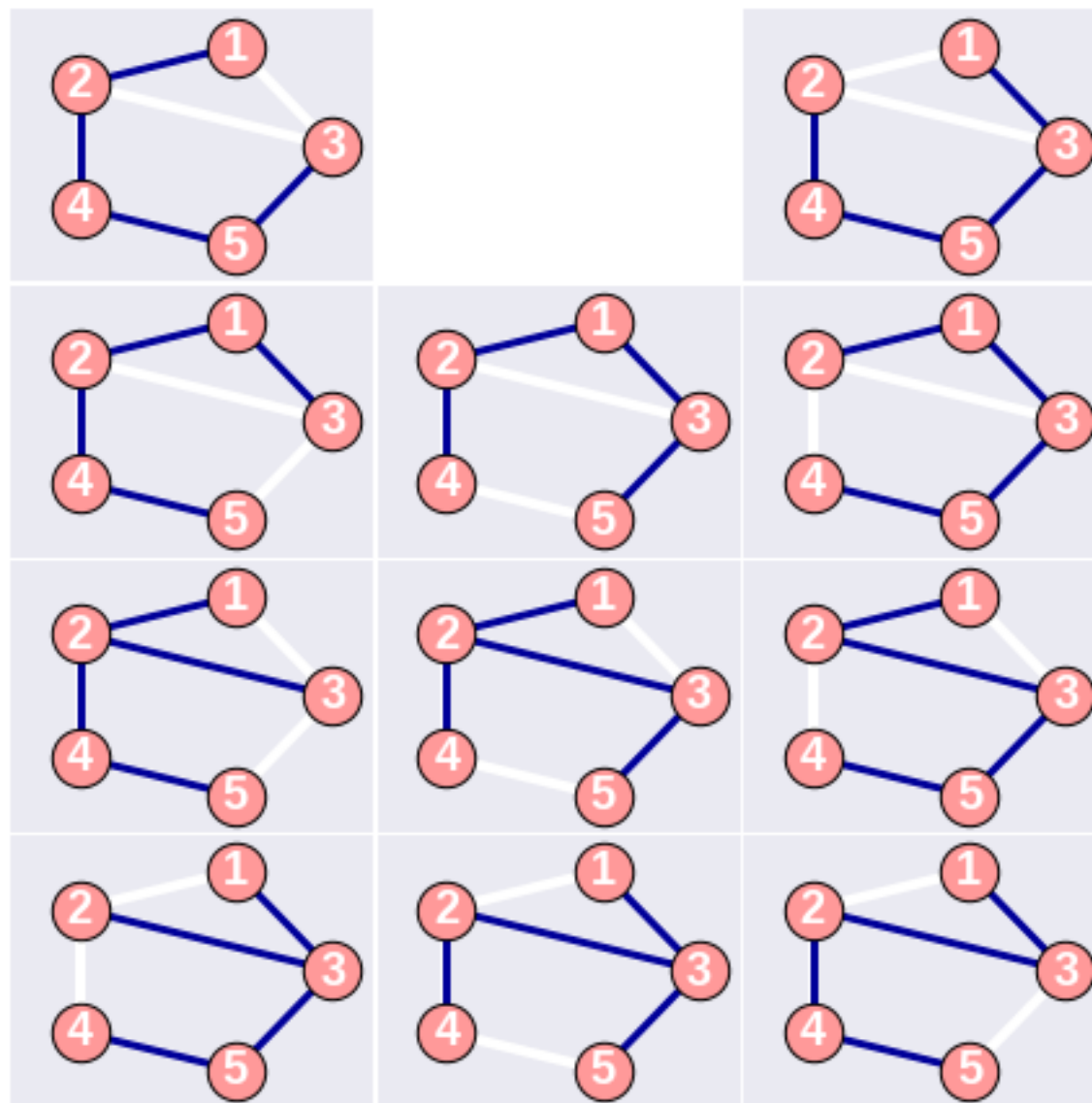
**Число остовных деревьев полного двудольного графа**

$$\text{od}(K_{m,n}) = m^{n-1} n^{m-1}$$

**ДЗ доказать**

**На семинаре разберёмся**

## Матричная теорема о деревьях



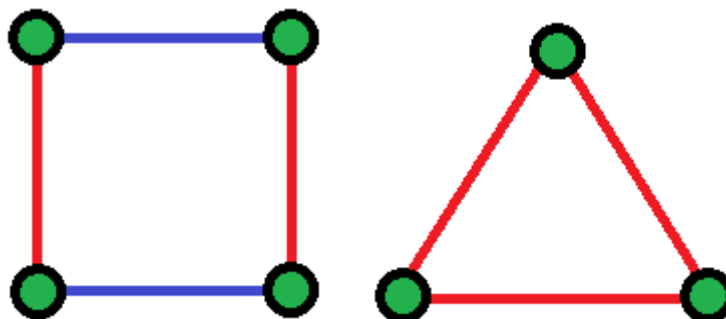


**Теорема [без доказательства]**

$|V| = n = 2k$ , с.з. Лапласа  $0 = \mu_1 \leq \dots \leq \mu_n$ , если  $\mu_n \leq 2\mu_2$ ,

**то в графе есть совершенное соответствие**

**(подмножество рёбер такое, что любая вершина инцидентна только одному ребру множества).**

**Теорема [без доказательства]**

**Кратность нуля как с.з. (неориентированного графа) равна числу компонент связности.**

## Как быть с двудольностью

**Спектр Лапласа не распознаёт двудольность**

**Д3 Показать**

**Теорема [без доказательства]**

**Кратность нуля как с.з. (неориентированного графа) беззнакового Лапласа равна числу компонент двудольности.**

**Теорема [без доказательства]**

**Граф двудольный тогда и только тогда, когда спектр Лапласа равен "беззнаковому" спектру Лапласа.**

**Д3 Показать на примерах, что так**

## Матрица смежности

### Пошли другие обозначения

$A \sim \text{с.з. } \lambda_1 \geq \dots \geq \lambda_n$  (могут быть  $<0!!!$ )

$L = kI - A \sim \text{с.з. } 0 = \mu_1 \leq \mu_2 \leq \dots \leq \mu_n$

**Теорема**  $d_{\text{avr}} \leq \lambda_1 \leq d_{\text{max}}$

### Доказательство

$$\lambda_1 = \max_x \frac{x^T A x}{x^T x} \geq \frac{\tilde{1}^T A \tilde{1}}{\tilde{1}^T \tilde{1}} = \frac{\sum A_{ij}}{n} = \frac{\sum \deg(i)}{n}$$

**Пусть  $v$  – собственный вектор, соответствующий  $\lambda_1$  с  $i$ -м максимальным элементом (можно считать ненулевым), тогда**

$$\lambda_1 = \frac{(Av)_i}{v_i} = \frac{\sum_{j:(i,j) \in E} v_j}{v_i} \leq \sum_{j:(i,j) \in E} \frac{v_j}{v_i} \leq \sum_{j:(i,j) \in E} 1 = \deg(i) \leq d_{\text{max}}.$$

**Теорема**  $d_{\text{avr}} \leq \lambda_1 \leq d_{\text{max}}$

**Замечание** Если удалить вершину с наименьшей степенью, то средняя степень  $d_{\text{avr}}$  неубывает, а  $\lambda_1$  невозрастает, т.е. не смотря на оценку они ведут себя по-разному!

$$\lambda_1 = \max_x \frac{x^T A x}{x^T x} \geq \max_y \frac{\begin{pmatrix} y \\ 0 \end{pmatrix}^T A \begin{pmatrix} y \\ 0 \end{pmatrix}}{\begin{pmatrix} y \\ 0 \end{pmatrix}^T \begin{pmatrix} y \\ 0 \end{pmatrix}}$$

**Замечание** Из этой схемы доказательства понятно, что

$$\lambda_{\min}(A) \leq \lambda_{\min}(A') \leq \lambda_{\max}(A') \leq \lambda_{\max}(A),$$

где  $A'$  – подматрица  $A$ , образованная строками и столбцами из  $\{i_1, \dots, i_k\}$

**Следствие.** Граф раскрашиваем в  $d_{\max} + 1$  цвет (очевидно). Граф раскрашиваем в  $\lfloor \lambda_1 \rfloor + 1$  цвет. По индукции.

Оценка точна! **ДЗ Почему?**

**Замечание [без доказательства].** Хроматическое число

$$\begin{aligned} &\geq \frac{\lambda_n}{\lambda_n - d_{\text{avr}}} \\ &\geq 1 + \frac{\lambda_1}{-\lambda_n} \end{aligned}$$

[через оценку сумм с.з. для блочовых матриц]

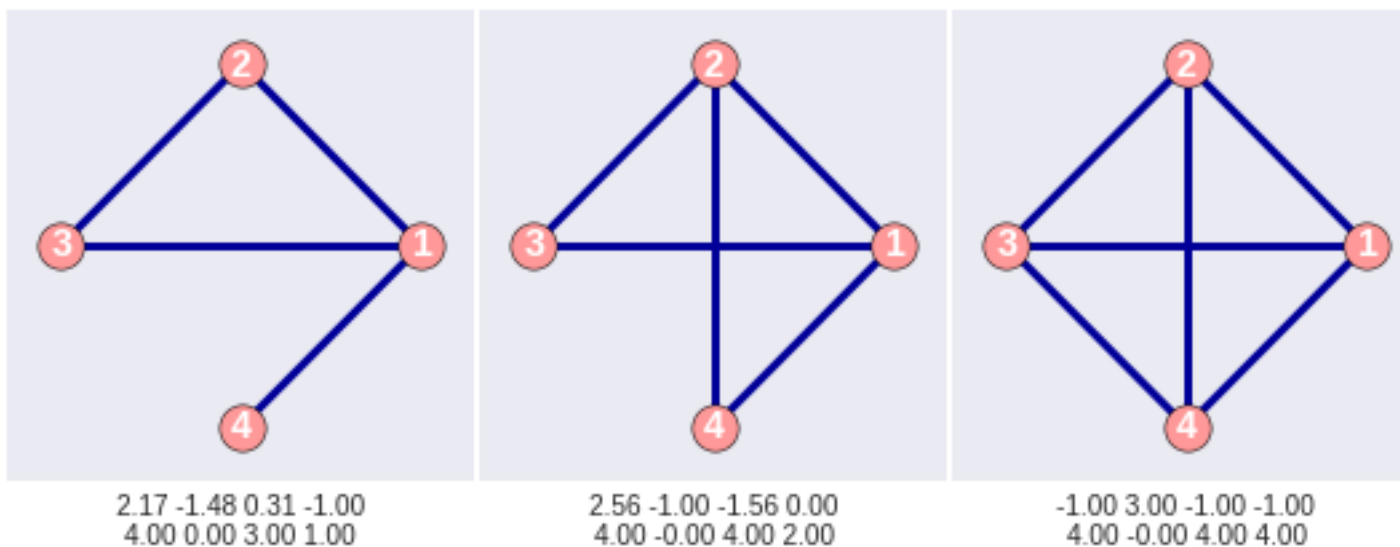
### Напоминалка

Граф 2-раскрашиваем  $\Leftrightarrow$  двудольный

Граф 3-раскрашиваем – NP-полная задача

Граф планарный  $\Rightarrow$  4-раскрашиваем

**Лемма.** Если в конечном графе  $\lambda_1 = d_{\max}$ , то он  $d_{\max}$ -регулярный.



**Лемма.** Если в конечном графе  $\lambda_1 = d_{\max}$ , то он  $d_{\max}$ -регулярный.

**Доказательство.** У нас при доказательстве было неравенство

$$\lambda_1 = \frac{(Av)_i}{v_i} = \frac{\sum_{j:(i,j) \in E} v_j}{v_i} \leq \sum_{j:(i,j) \in E} \frac{v_j}{v_i} \leq \sum_{j:(i,j) \in E} 1 = \deg(i) \leq d_{\max}$$

**Теперь – это равенство:**

$$\frac{v_j}{v_i} = 1, (i, j) \in E,$$

**не только у  $i$ -й вершины максимальная степень, но и у всех соседей.  
Из связности графа  $\Rightarrow$  у всех вершин в графе максимальная степень.**

**Для DM.** Спектр пополнять другими характеристиками графа.

**Теорема (Фробениуса-Перрона) [без доказательства]**

**Пусть граф связный и взвешенный, тогда**

**1)  $\lambda_1 \geq -\lambda_n$  [они все вещественные, пока не больше]**

**2)  $\lambda_1 > \lambda_2$**

**3) для  $\lambda_1$  есть положительный собственный вектор**

**[Можно добавить доказательство + вспомогательная лемма]**

**Теорема (Ф-П для Лапласианов) [без доказательства]**

**Пусть матрица  $M$  имеет неположительные недиагональные элементы, граф ненулевых недиагональных элементов связан.**

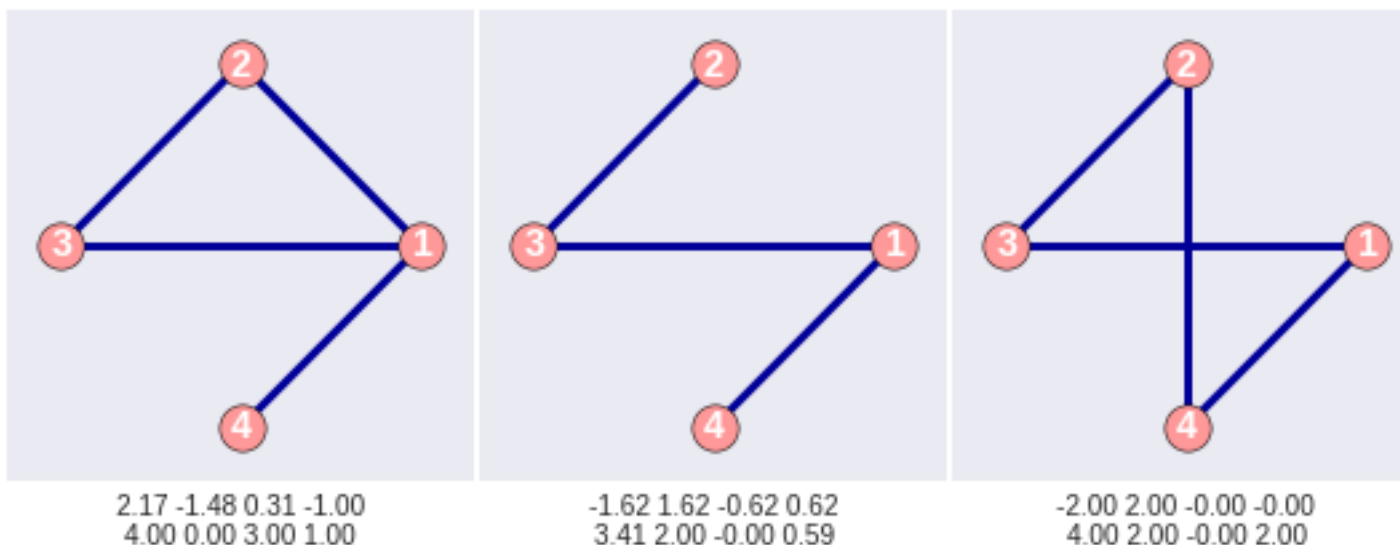
**Пусть  $\lambda_1$  – наименьшее с.з. с с.в.  $v^1$ . Тогда можно выбрать  $v^1$  положительным и  $\lambda_1$  имеет кратность 1.**



## Теорема

**Граф двудольный тогда и только тогда, когда для любого с.з.  $\lambda$  величина  $(-\lambda)$  тоже является с.з.**

**Связный граф с наибольшим с.з.  $\lambda$  двудольный тогда и только тогда, когда  $(-\lambda)$  тоже является с.з.**



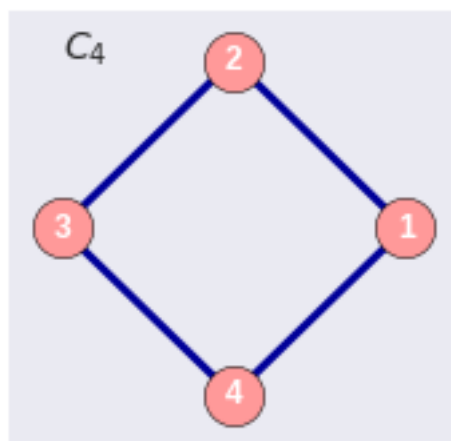
**Сильно регулярный граф** – простой, ориентированный, без петель, существуют параметры  $(n, k, k_1, k_2)$  такие, что

$$|V| = n,$$

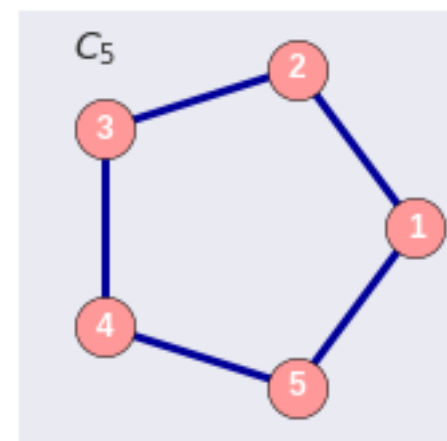
$$\forall i \deg(i) = k,$$

$$\forall (i, j) \in E \deg(i, j) = k_1,$$

$$\forall (i, j) \notin E \deg(i, j) = k_2.$$



$(4, 2, 0, 2)$



$(5, 2, 0, 1)$

$\deg(i, j) = k$  – вершины  $i, j$  имеют  $k$  общих соседей.

**Теорема** Для простого нетривиального (не полного и не пустого) графа порядка  $n$  следующие утверждения эквивалентны:

1) граф  $(n, k, k_1, k_2)$ -сильно регулярный

2)  $A^2 = (k_1 - k_2)A + (k - k_2)I + k_2J$  для некоторых вещественных  $k, k_1, k_2$

3) есть два с.з. с с.в. ортогональными к  $\tilde{1}$

**Доказательство** Первые два утв. очевидно эквивалентны. Пусть верно второе и  $v$  – с.в. с с.з.  $\lambda$ , тогда

$$A^2v = (k_1 - k_2)Av + (k - k_2)Iv + k_2Jv$$

$$\lambda^2v = (k_1 - k_2)\lambda v + (k - k_2)v + k_2\left(\sum v_i\right)v$$

Для вектора ортогонального к  $\tilde{1}$  –  $\lambda^2 = (k_1 - k_2)\lambda + (k - k_2)$

Здесь два разных решения.

Если верно третье утв. и соответствующие с.з.  $\lambda, \lambda'$ , то **ДЗ почему?**

$$(A - \lambda I)(A - \lambda' I) = sJ$$

для некоторого  $s$ , поэтому  $A^2 \in \Lambda(A, I, J)$ .

## Теорема

**Граф с одним с.з. – без рёбер**

**Связный граф с двумя с.з. – полный**

**Связный регулярный граф с 3 с.з. – строго регулярный**

**Связный регулярный граф с 4 с.з. – «walk-regular»**

**(для любого  $k \geq 2$  число путей через вершину длины  $k$   
не зависит от вершины)**

## МАТЕМАТИЧЕСКИЕ ОСНОВЫ СТГ

$L \succ 0$ , если  $L$  – неотрицательно(!) определённая матрица

$G \succ H$ , если  $L_G \succ L_H$ , если  $L_G - L_H \succ 0$

**Лемма.** Если  $G \succ cH$ , то  $\mu_k(G) \geq c\mu_k(H)$  для всех  $k$  (здесь умножение на  $c$  – умножение весов графа).

**Доказательство** очевидно из

$$\lambda_k(G) = \max_{\substack{S \subseteq \mathbf{R}^n \\ \dim(S)=k}} \min_{x \in S} \frac{x^T L_G x}{x^T x} \geq c \max_{\substack{S \subseteq \mathbf{R}^n \\ \dim(S)=k}} \min_{x \in S} \frac{x^T L_H x}{x^T x} \geq c \lambda_k(H).$$

**Аналогична монотонность при добавлении рёбер и увеличении отдельных весов.**

## МАТЕМАТИЧЕСКИЕ ОСНОВЫ СТГ

### Теорема об аппроксимации

Для любого  $\varepsilon > 0$  существует  $d > 0$ , что **для всех** достаточно больших  $n$  существует  $d$ -регулярный граф  $G$ :

$$(1 + \varepsilon)G \succ K_n \succ (1 / (1 + \varepsilon))G.$$

**Полные графы аппроксимируются графами с малым числом рёбер!**